

## \* بررسی بافت و رفتار سیلان گرم یک فولاد میکروآلیاژی در اثر نرم شدن استاتیکی در طی تغییرشکل گرم

مصطفی منصوری نژاد<sup>(۱)</sup>بهمن میرزاخانی<sup>(۲)</sup>**چکیده**

در این تحقیق، تاثیر پارامترهای ترمومکانیکی، تحولات متالورژیکی و بافت کریستالی بر رفتار سیلان گرم یک فولاد میکروآلیاژی مورد استفاده در لوله‌های انتقال گاز بررسی شده است. بدین منظور، آزمایش‌های مختلف فشار گرم در محدوده دمایی ۸۵۰-۹۵۰ درجه سانتیگراد و تحت مقادیر مختلف کرنش، نرخ کرنش و زمان نگهداری پس از تغییرشکل، انجام شد. ریزساختار و بافت کریستالی نمونه‌های تغییرشکل یافته نیز به کمک میکروسکوپ الکترونی روبشی و تفرق الکترونیکی برگشتی بررسی شد. نتایج نشان داد که دما و میزان کرنش در نرم شدن جزئی یا کامل نمونه‌ها نقش اساسی داشته و تشکیل رسوبات عناصر میکروآلیاژی در طی آنیل، این مساله را تحت تاثیر قرار می‌دهد.

**واژه‌های کلیدی** نرم شدن استاتیکی، آستنیت، فولاد میکروآلیاژی، رهایی تنفس

## Study of Texture and Warm Flow Stress of a Microalloyed Steel Due to Static Softening During Hot Deformation

M. Mansourinejad

B. Mirzakhani

### Abstract

In this paper, the influences of metallurgical phenomena and texture in addition to the thermomechanical parameters on the warm flow stress of austenite in a gas line-pipe microalloyed steel have been investigated. Warm compression tests were carried out in the temperature range of 850 to 950°C under various amounts of strain, strain rates and holding times. The microstructure and texture of the samples were then investigated by scanning electron microscopy and electron back scatter diffraction technique. The results indicated that deformation temperature and strain via strain induce precipitation of microalloying elements during annealing impose the fraction of recrystallization in the material.

**Key Words** Static Softening; Austenite; Microalloyed Steel; Stress Relaxation.

\* نسخه نخست مقاله در تاریخ ۹۶/۱/۱۶ و نسخه پایانی آن در تاریخ ۹۶/۸/۲۲ به دفتر نشریه رسیده است.

(۱) نویسنده مسئول: مریبی، گروه مهندسی مواد و متالورژی - دانشکده فنی و مهندسی - دانشگاه آزاد اسلامی واحد دزفول.

Email: mansourinejad@gmail.com

(۲) استادیار، گروه مهندسی مواد و متالورژی - دانشکده فنی و مهندسی - دانشگاه اراک

DOI: 10.22067/ma.v0i29.63535

فولاد ساده کربنی پس از تغییرشکل گرم توسط ژانگ و همکارانش [5] مطالعه گردید. نتایج آنها نشان می‌دهد که افزایش میزان عنصر نایوبیم محلول، به شدت انرژی فعال تبلور مجدد استاتیکی را بالا می‌برد. اورانگا و همکارانش [6] از آزمایش فشار کرنش صفحه‌ای یک و دو مرحله‌ای برای مطالعه سیستیک تبلور مجدد استاتیکی استفاده نمودند. آنها نتایج حاصل از این روش را با دیگر روش‌های تغییرشکل گرم مثل پیچش گرم مقایسه نمودند. تجربه نشان می‌دهد که مکانیک سیلان یک فلز در حال تغییر شکل، به شدت از تحولات ریزساختاری ماده که به طور پیوسته رخ می‌دهند، تاثیر می‌بازد. در تغییرشکل گرم، دو پدیده متالورژیکی مهم یعنی بازیابی و تبلور مجدد در کنار ترکیب شیمیایی و پارامترهای ترمومکانیکی شامل کرنش، نرخ کرنش و دما به طور مشخص بر تنش سیلان ماده تاثیر می‌گذارند. مطالعه نرم شدن آستینیت فولاد در تغییرشکل گرم در طراحی برنامه نورد یا آهنگری کنترل شده فولادهای میکروآلیاژی نقش مهمی دارد. به همین جهت هدف این مقاله بررسی تاثیر بازیابی و تبلور مجدد استاتیکی و اثر رسوبات عنصر میکروآلیاژی در کنار پارامترهای ترمومکانیکی بر رفتار سیلان گرم فولاد میکروآلیاژی حاوی تیتانیوم، وانادیوم و نایوبیوم است.

### روش انجام تحقیق

ترکیب شیمیایی فولاد میکروآلیاژی مورد استفاده در تحقیق حاضر، که در صنایع نفت و گاز نیز کاربرد فراوانی دارد، در جدول (۱) آورده شده است. تجزیه شیمیایی فولاد حاوی هر سه عنصر میکروآلیاژی تیتانیوم، وانادیوم و نایوبیوم می‌باشد.

جدول ۱ ترکیب شیمیایی فولاد میکروآلیاژی مورد استفاده (درصد وزنی)

C	S	P	Si	Mn	Nb	Ti	V	N	Fe
۰/۰۹	۰/۰۰۹	۰/۰۰۷	۰/۳۲	۱/۵۵	۰/۰۳	۰/۰۱	۰/۰۴	۰/۰۰۲	مابقی

### مقدمه

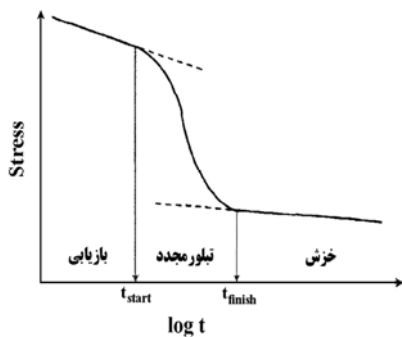
امروزه در سراسر جهان جهت بهبود خواص مکانیکی فلزات و آلیاژها از فرآیند ترمومکانیکی استفاده می‌شود. با این عملیات بدون نیاز به آلیاژسازی، خواص مکانیکی فولادهای میکروآلیاژی به طور قابل ملاحظه‌ای بهبود می‌یابد. در این عملیات تغییر شکل پلاستیک و استحالت فاز به صورت پشت سر هم به گونه‌ای طرح ریزی می‌شوند که با یکدیگر وارد عمل شده و ریزساختاری با بهترین خواص ایجاد نماید [1].

در طی عملیات ترمومکانیکی فولادهای میکروآلیاژی، تغییرشکل پلاستیک معمولاً در فاز آستینیت انجام می‌شود. در نتیجه ماده کارسخت شده و عیوب کریستالی از جمله نابجایی‌ها در ساختار افزایش می‌یابد. در نتیجه انرژی آزاد ماده بالا می‌رود. هم‌زمان با کارسخت شدن ماده در حین تغییرشکل پلاستیک، فرآیندهای نرم شدن آن در درجه حرارت‌های بالا که شامل بازیابی و تبلور مجدد می‌شود، فعال شده و موجب کاهش انرژی داخلی آستینیت می‌گردد. رقابت دو پدیده کارسختی و کارنری میزان تنش سیلان ماده را تعیین می‌کند. چنانچه بازیابی و تبلور مجدد در حین تغییرشکل انجام شود به آنها بازیابی و تبلور مجدد دینامیکی و درصورتیکه بعد از اتمام تغییرشکل انجام شود به آنها بازیابی و تبلور مجدد استاتیکی گفته می‌شود [2].

آزمایش رهایی تنش یک روش بسیار مفید در بررسی تحولات ریزساختاری پس از تغییرشکل گرم بخصوص بررسی بازیابی و تبلور مجدد استاتیکی می‌باشد [3-6]. اسمیت و همکارانش [4] بازیابی استاتیکی فریت یک فولاد ساده کربنی را به کمک آزمایش رهایی تنش مورد بررسی قرار دادند.

پاندیت و همکارانش [4] سیستیک رسوب گذاری را در چند فولاد میکروآلیاژی حاوی تیتانیوم، وانادیوم و نایوبیوم آزمایش رهایی تنش مقایسه نمودند. آنها متوجه شدند که رسوبات پیچیده هر سه عنصر سبب بروز تخت شوندگی در منحنی‌های رهایی تنش می‌شوند. سرعت تبلور مجدد در یک فولاد میکروآلیاژی حاوی نایوبیوم و

ثبت شد و در پایان، نمونه‌ها به کمک پاشش آب با سرعت بیش از ۲۰۰ درجه بر ثانیه کوئیچ شدند تا مورد مطالعه ریزساختاری قرار گیرند. در این تحقیق، مشاهده ریزساختار و بافت کریستالی نمونه‌های تغییرشکل یافته، به کمک میکروسکوپ الکترونی روبشی و آنالیز تفرق الکترونی‌های برگشتی (EBSD) توسط میکروسکوپ JEOL JSM 6500F انجام گرفت.



شکل ۱ منحنی رهایی تنش: دو بخش خطی و نرم شدن سریع بین آنها در اثر تبولورمجدد [۲]

## نتایج و بحث

در تولید فولادهای میکروآلیاژی کترل شرایط تغییر شکل و آگاهی از تحولات ریزساختاری در مراحل مختلف شکل‌دهی، جهت دستیابی به ریزساختار و درنتیجه خواص مکانیکی مطلوب، ضروری است. شکل (۲) منحنی‌های رهایی تنش بدست آمده از آزمایش فشار گرم در دماهای مختلف را نشان می‌دهد. در شروع رهایی تنش، تنش به طور خطی با لگاریتم زمان به دلیل کاهش چگالی نایجایهای و بازیابی ماده با شبکه کمی کاهش می‌یابد. در بخش دوم منحنی رهایی تنش طبق نمودارهای شکل (۲)، به دلیل تبولورمجدد، افت ناگهانی تنش دیده می‌شود. تغییر شیب مجدد منحنی تنش - لگاریتم زمان، بیانگر خاتمه نرم شدن سریع است. در ادامه آزمایش، به سبب خرزش یا رشد دانه، تغییرات تنش همان‌گونه که در منحنی‌های دماهای تغییرشکل گرم ۱۰۰۰ و ۹۵۰ درجه سانتیگراد در شکل (۲) دیده می‌شود، دوباره به صورت خطی و حالت پایدار می‌رسد. همانطور که در نمودارهای

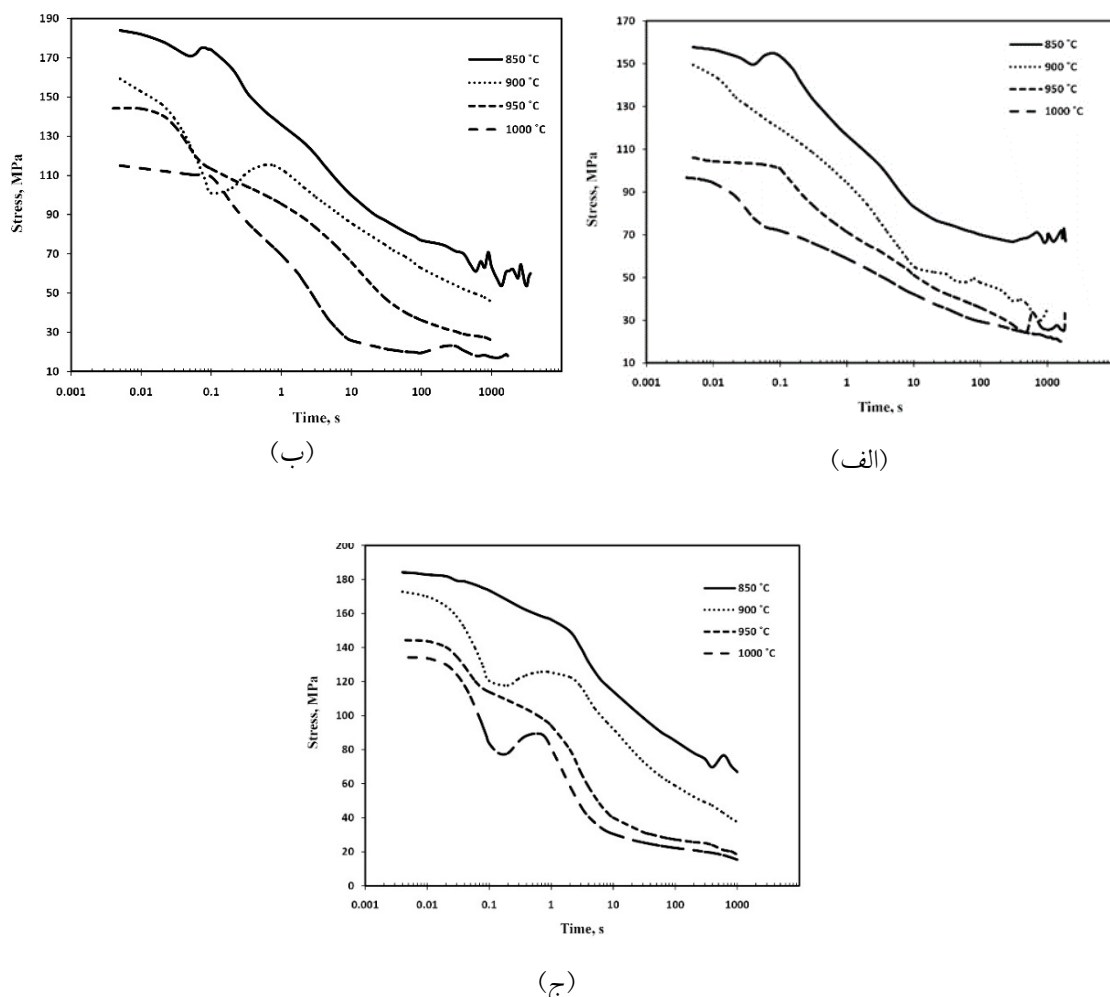
رفتار رهایی تنش فولاد مورد بررسی، با استفاده از آزمایش فشار گرم و به کمک دستگاه شبیه‌ساز ترمومکانیکی Gleebler 1500 بررسی شد. در این دستگاه نمونه‌ها به وسیله سیستم مقاومتی فرکانس پایین گرم شده و کترل دما توسط سیم ترمومکوپل نوع K که به نمونه جوش داده شده است، انجام می‌گیرد. همچنین در طول آزمایش با دمچش گاز آرگون از اکسیداسیون نمونه‌ها ممانعت به عمل آمد. نمونه‌های استوانه‌ای به قطر ۱۰ و ارتفاع ۱۲ میلیمتر از یک صفحه فولادی و در جهت نورد تهیه شد. کوچک بودن اندازه نمونه‌ها سبب شد که گردایان دمایی ناچیزی داخل نمونه‌ها ایجاد شود. خمیری از نیکل و گرافیت به عنوان روانکار برای جلوگیری از بشکه‌ای شدن نمونه‌ها به کار برد شد.

آزمایش رهایی تنش در واقع یک آزمایش خرزش تحت شرایط تنش ناپایدار است. در این آزمایش نمونه در یک دمای بالاتر از نصف دمای ذوب ماده، با سرعت مشخص و به میزان معینی تحت کرنش قرار گرفته و در طول زمان کرنش اعمالی ثابت نگاه داشته می‌شود و تغییرات تنش ثبت می‌گردد. در شروع رهایی تنش، تنش به طور خطی با لگاریتم زمان کاهش می‌یابد؛ تا اینکه در ماده تبولورمجدد اتفاق می‌افتد (شکل (۱)). در نتیجه در بخش دوم منحنی رهایی تنش، افت ناگهانی تنش دیده می‌شود. تغییر شیب مجدد منحنی تنش - لگاریتم زمان، بیانگر خاتمه نرم شدن سریع است. در ادامه آزمایش، به سبب خرزش یا رشد دانه، تغییرات تنش دوباره به صورت خطی و حالت پایدار می‌رسد.

برای انجام آزمایشات فشار گرم، ابتدا نمونه‌ها با سرعت ۱۰ درجه بر ثانیه تا دمای ۱۲۰۰ درجه سانتیگراد حرارت داده شده و در این دما به مدت ۵ دقیقه پیشگرم می‌شوند. سپس با سرعت ۱ درجه بر ثانیه تا دمای تغییرشکل مورد نظر (دماهای ۱۰۰۰، ۹۵۰، ۹۰۰ و ۸۵۰ درجه سانتیگراد) سرد شده و برای پایدار شدن دما ۳ دقیقه نگه داشته شدند. در ادامه، نمونه‌ها با کرنش‌های ۰/۱، ۰/۰۴، ۰/۰۲۵ و ۰/۰۰۴ و سرعت‌های کرنش ۰/۱ و ۰/۰۵ برثانیه فشرده شدند. در هین آزمایش، رهایی تنش با زمان

اعمال کرنش ۰/۰۴ به دلیل ناکافی بودن مقدار تغییرشکل پلاستیک و در نتیجه نیروی محرکه کم، در نمونه‌ها تنها بازیابی اتفاق می‌افتد. همان‌گونه که مقادیر تنش در پایان تغییرشکل و یا شروع آنل نشان می‌دهد، با افزایش کرنش پلاستیک تنش سیلان به دلیل کارسختی ماده زیاد شده است. در نتیجه میزان انرژی ذخیره شده در ساختار نیز بالاتر است. در فولادهای ساده کربنی با اعمال کرنش پلاستیک بیشتر، زمان لازم برای انجام ۵۰٪ تبلور مجدد و زمان نهفتگی تبلور مجدد کاهش می‌یابد [۷ و ۸].

شکل (۲) مشاهده می‌شود، با افزایش دمای فشار گرم، سرعت نرم شدن استاتیکی زیاد شده بطوریکه در دماهای تغییرشکل گرم ۹۵۰ و ۱۰۰۰ درجه سانتیگراد، تبلور مجدد برای کرنش اعمالی ۰/۴، در زمانهای خیلی کوتاه (حدود ۲۰ ثانیه) تکمیل می‌شود. زیرا تبلور مجدد یک پدیده کنترل شونده توسط نفوذ است و نفوذ با بالارفتن دما تسريع می‌شود در نتیجه تبلور مجدد در زمانهای کوتاه تری تکمیل می‌شود. تاثیر کرنش بر تنش سیلان و سیستیک نرم شدن استاتیکی فولاد در دو دمای ۹۵۰ و ۸۵۰ درجه سانتیگراد در شکل (۳) نمایش داده شده است. با



شکل ۲ منحنی‌های رهایی تنش در دماهای ۱۰۰۰، ۹۵۰، ۹۰۰ و ۸۵۰ درجه سانتیگراد و نرخ کرنش ۰/۵ بر ثانیه (الف) کرنش ۰/۱؛ (ب) کرنش ۰/۲۵؛ (ج) کرنش ۰/۴

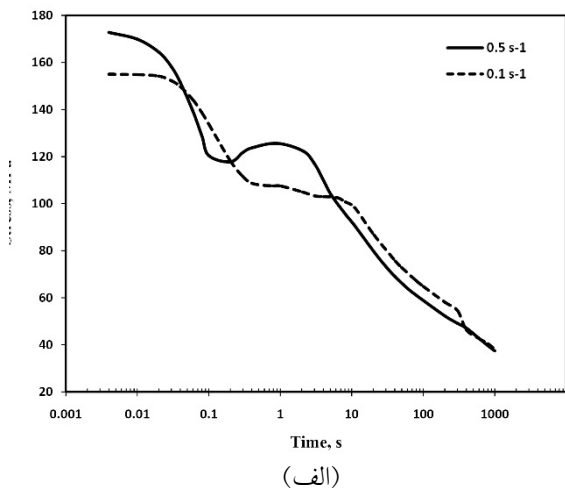
۴/۰ دیده می شود، به طوری که تخت شوندگی در دمای ۸۵۰ درجه سانتیگراد در محدوده زمانی ۳-۵/۰ ثانیه و در دمای ۹۵۰ درجه سانتیگراد در بازه زمانی ۲-۱/۰ ثانیه اتفاق می افتد. لازم به ذکر است که در تحقیق دیگر انجام شده توسط نویسندها این مقاله، دماها و ترکیب شیمایی رسوبات کاربیدی، نیتریدی و کاربونیتریدی عناصر میکروآلیاژی حاضر در فولاد مورد بررسی قرار گرفت که تخت شوندگی مشاهده شده در منحنی های رهایی تنش نتایج حاضر، منطبق با نتایج گزارش شده با آن تحقیق می باشد [15].

شکل (۴) تاثیر سرعت کرنش را بر رفتار نرم شدن و تنش سیلان فولاد بعد از تغییرشکل گرم در دماهای ۹۰۰ و ۱۰۰۰ درجه سانتیگراد نشان می دهد. از تصاویر شکل (۴) مشخص است که سرعت کرنش تنها بر بخش ابتدایی منحنی های رهایی تنش اثر می گذارد. به بیان دیگر بعد از اولین افت تنش و توقف تبلور مجدد، (به دلیل رسوب گذاری القاء شده در اثر کرنش) نرخ کرنش تغییری در سیستیک نرم شدن استاتیکی ایجاد نمی کند و ادامه روند منحنی های رهایی تنش در سرعت های تغییرشکل مختلف یکسان است.

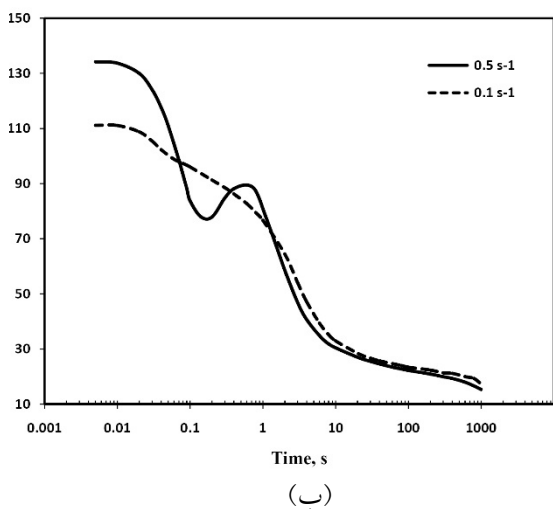
در واقع با زیاد شدن سرعت کرنش، انرژی کرنشی داخلی زیاد می شود. زیرا در سرعت های کرنش بالاتر، بازیابی دینامیکی در داخل ماده کمتر صورت گرفته و درنتیجه چگالی نابجایی های درون ساختار تغییرشکل داده شده بیشتر است. بنابراین، همانطور که در منحنی مربوط به سرعت کرنش ۵/۰ برثانیه در شکل (۴) دیده می شود، در ابتدایی آنلی تنش به صورت ناگهانی افت می کند. همچنین در هردو دمای تغییرشکل و نرخ کرنش، رسوبات القاء شده در اثر کرنش، در بازه زمانی مختلف آنلی اتفاق می افتد که نشان از تفاوت انرژی داخلی دو ساختار دارد.

در حالیکه در فولادهای میکروآلیاژی، تشکیل رسوبات کاربیدی، نیتریدی و یا کربونیتریدی عناصر میکروآلیاژی در طی تغییرشکل گرم یا پس از آن سیستیک و پیشروی تبلور مجدد را تحت تاثیر قرار می دهد. در این حالت در منحنی های رهایی تنش طبق شکل (۲) و (۳) تخت شوندگی اتفاق می افتد؛ بطوريکه در طول آنلی برای مدت زمان مشخصی تنش سیلان ثابت و یا در برخی موارد افزایش می یابد. تخت شوندگی منحنی رهایی تنش فولادهای میکروآلیاژی در مراجع دیگر [14-9] نیز گزارش شده است. این اتفاق منجر به توقف یا کند شدن سیستیک تبلور مجدد و درنتیجه افزایش کرنش ذخیره شده و انرژی داخلی ماده می شود. مطالعات میکروسکوپ الکترونی عبوری نشان می دهد که در محدوده زمانی ناحیه تخت شوندگی، رسوبات القاء شده در اثر کرنش عناصر میکروآلیاژی تبلور مجدد را به تاخیر می اندازند [9-14]. در نتیجه تنش سیلان ثابت باقی مانده و یا افزایش می یابد. با افزایش کرنش تغییرشکل، به دلیل زیاد شدن مکان های مر جح جوانه زنی کاربیدها و نیتریدهای عناصر میکروآلیاژی، رسوب گذاری بر تبلور مجدد پیشی گرفته و همانطور که در منحنی های شکل (۳) ملاحظه می شود، تخت شوندگی در زمان های کوتاه تر آنلی در منحنی ظاهر می شود. به عبارت دیگر، با بالا رفتن چگالی نابجایی ها، سرعت جوانه زنی رسوبات نیز زیاد شده و اثر آنها بر تبلور مجدد شدید تر می شود. از طرف دیگر با افزایش چگالی نابجایی ها، به دلیل افزایش سرعت نفوذ، رشد رسوبات نیز تسریع گشته و اثر آنها در تعویق تبلور مجدد سریعتر کاهش می یابد. در واقع رسوباتی در توقف تبلور مجدد موثرند که اندازه آنها بسیار ریز باشد. با گذشت زمان آنلی رسوبات درشت شده و کارآیی آنها در کنترل تبلور مجدد کم می شود. درنتیجه منحنی تنش سیلان در پایان تخت شوندگی مجدد سیر نزولی پیدا می کند. این مطلب به خوبی در تصاویر شکل (۳-الف) برای کرنش ۴/۰ و شکل (۳-ب) برای کرنش ۰/۲۵ و

شکل (۵)-ج و (د) نیز همین تصاویر برای نمونه تغییرشکل داده شده در دمای ۹۵۰ درجه سانتیگراد، کرنش  $0/4$  و نرخ کرنش  $0/5$  بر ثانیه و پس از گذشت ۱۰ ثانیه آنلیل ارایه شده است. هر دو نمونه در دمای محیط ساختار بینیتی با بافت BCC دارند.



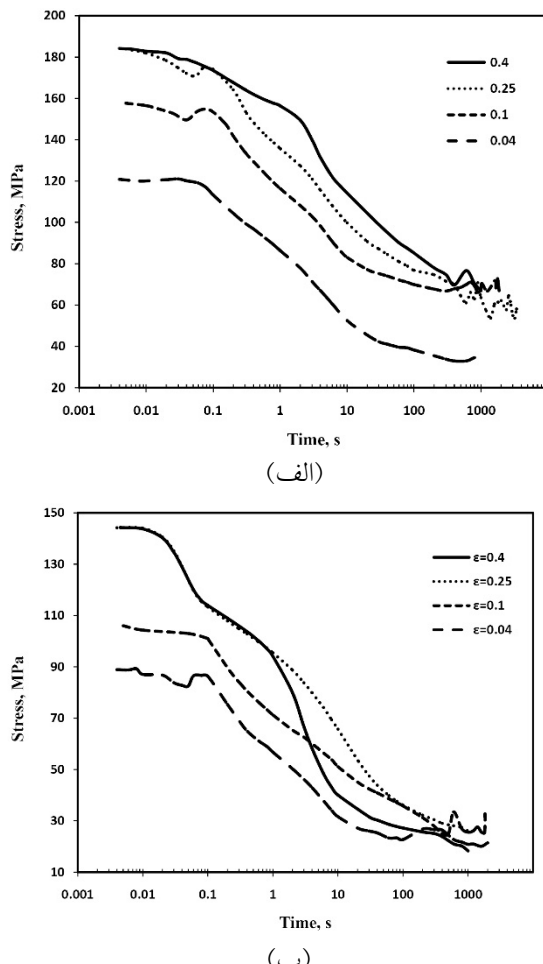
(الف)



(ب)

شکل ۴ منحنی های رهایی تنش در دو نرخ کرنش  $0/1$  و  $0/5$  بر ثانیه و کرنش ثابت  $0/4$  و دماهای (الف) ۹۰۰ درجه سانتیگراد؛ (ب) ۱۰۰۰ درجه سانتیگراد

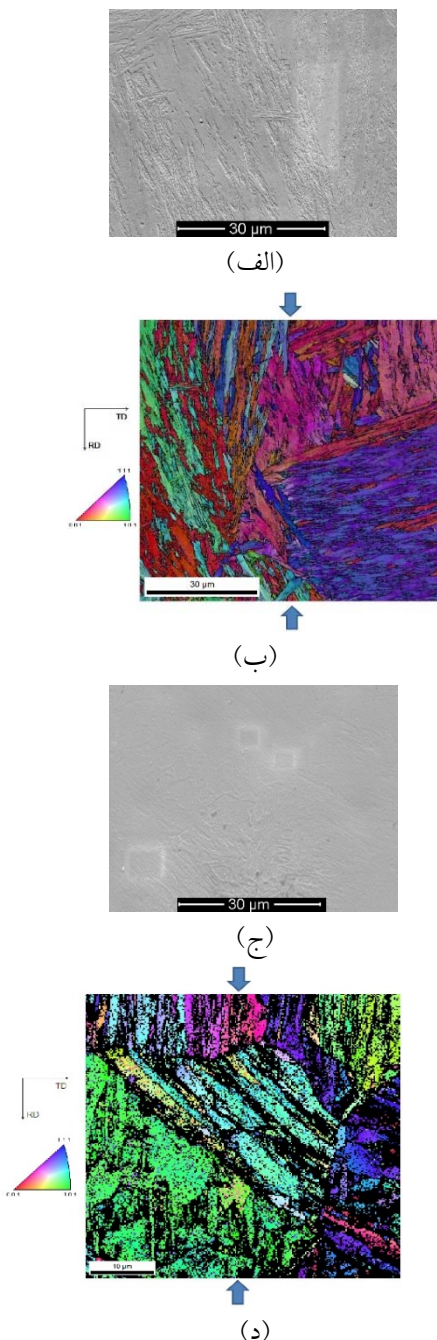
نقشه شکل قطبی معکوس نشان می دهد که بخش عمده و خیلی جزئی فاز بینیتی در ریزساختار به ترتیب نمونه شکل (۵)-الف و (ب) و شکل (۵)-ج و (د)، از فاز



شکل ۳ منحنی های رهایی تنش پس از اعمال کرنش های  $0/1$ ،  $0/25$  و  $0/4$  با نرخ کرنش  $0/5$  بر ثانیه در دماهای (الف) ۸۵۰ درجه سانتیگراد؛ (ب) ۹۵۰ درجه سانتیگراد

شکل (۵) تصویر میکروسکوپ الکترونی روبشی و آنالیز تفرق الکترونها برگشتی نمونه های فشرده شده در دماها و کرنش های مختلف را نشان می دهد. جهت بررسی ریزساختار و بافت کریستالی، نمونه ها بلا فاصله پس از تغییرشکل گرم در شرایط موردنظر با پاشش آب کوئنچ شدند. در شکل (۵)-الف و (ب) به ترتیب تصویر میکروسکوپ الکترونی روبشی و تصویر بافت کریستالی بدست آمده به کمک آنالیز تفرق الکترونها برگشتی مربوط به نمونه فشرده شده در دمای ۹۰۰ درجه سانتیگراد، به میزان کرنش  $0/1$  و نرخ کرنش  $0/5$  بر ثانیه و پس از گذشت ۱۰ ثانیه آنلیل نمایش داده شده است. در

کریستالی فولاد میکروآلیاژی حاوی تیتانیوم، وانادیوم و نایوبیوم نتایج کلی زیر حاصل شد:



شکل ۵ تصاویر میکروسکوپ الکترونی رویشی و آنالیز تفرق الکترونهای برگشتی نمونه‌های فشرده شده در (الف و ب) دمای ۹۰۰ درجه سانتیگراد، کرنش ۰/۱ و نرخ کرنش ۰/۵ برثانیه و ج (د) دمای ۹۵۰ درجه سانتیگراد، کرنش ۰/۴ و نرخ کرنش ۰/۵ برثانیه پس از ۱۰ ثانیه آنیل.

آستینیت تغییرشکل یافته با جهت‌یابی مس و یا برنج بوجود آمده است. چنین بافتی نشان دهنده این است که بینیت بوجود آمده از آستینیت تغییرشکل یافته است نه از آستینیت تبلورمجدد یافته. در صورتیکه بافت نوع گوس (Goss) که از آستینیت اولیه با ساختار مکعبی بوجود آمده است معروف نوع بافت تبلورمجدد است و در نمونه مربوط به شکل (۵-ب) کمتر ولی در نمونه مربوط به شکل (۵-د) سهم بیشتری دارد. به عبارت دیگر مقایسه تصاویر آنالیز تفرق الکترونهای برگشتی دو نمونه در شکل (۵) نشان دهنده این است که نمونه تغییرشکل داده شده در دمای ۹۰۰ درجه سانتیگراد و کرنش ۰/۱ تبلورمجدد جزئی شده است؛ در صورتیکه نمونه فشرده شده در دمای ۹۵۰ درجه سانتیگراد و کرنش ۰/۴ تقریباً بطور کامل تبلورمجدد یافته است. زیرا میزان کرنش اعمالی و دمای تغییرشکل این نمونه بیشتر بوده است. نتایج بافت کریستالی تایید کننده منحنی‌های رهایی تنش این دو نمونه در شکل‌های (۲-الف) و (۳-ب) می‌باشد. همانطور که از شکل (۲-الف) مشخص است، منحنی رهایی تنش نمونه تغییرشکل داده شده در دمای ۹۰۰ درجه سانتیگراد و کرنش ۰/۱ تا ۱۰ ثانیه افت اولیه را داشته ولی از زمان ۱۰ ثانیه به بعد به دلیل تشکیل رسوبات و تخت شوندگی تبلورمجدد متوقف شده است. بنابراین این نمونه پس از گذشت ۱۰ ثانیه آنیل، همانطور که در تشریح تصویر آنالیز تفرق الکترونهای برگشتی آن ذکر گردید، دچار تبلور مجدد جزئی شده است. این در حالی است که در منحنی رهایی تنش مربوط به نمونه فشرده شده در دمای ۹۵۰ درجه سانتیگراد و کرنش ۰/۴ در شکل (۳-ب) در مدت زمان ۱۰ ثانیه افت اولیه تنش، تخت شوندگی و افت مجدد تنش اتفاق افتاده است و این یعنی تقریباً تبلورمجدد کامل.

### نتیجه گیری

از بررسی تاثیر نرم شدن استاتیکی بر تنش سیلان و بافت

پایین (نظیر نمونه تغییرشکل داده شده در دمای ۹۰۰ درجه سانتیگراد و کرنش ۰/۱) از آستنیتی تغییرشکل یافته بوجود آمده است. در صورتیکه در دماهای بالاتر فشار گرم و کرنش‌های بیشتر (مثلاً نمونه تغییرشکل داده شده در دمای ۹۵۰ درجه سانتیگراد و کرنش ۰/۴) فاز بینیت عمدتاً از آستنیت تبلور مجدد یافته ایجاد شده است.

۴- بررسی نقشه شکل قطبی معکوس بدست آمده از آنالیز آنالیز تفرق الکترونهای برگشتی نمونه‌ها به خوبی تایید کننده منحنی‌های رهایی تنش و وقوع تخت شوندگی در این منحنی‌ها می‌باشد.

### تقدیر و تشکر

نویسنده‌گان این مقاله از معاونت پژوهش و فناوری دانشگاه آزاد اسلامی واحد ذوق‌ول جهت پشتیبانی مالی این پژوهش که در راستای طرح پژوهشی شماره ۳۳۰ بوده است، تشکر و قدردانی می‌نمایند.

۱- بلافارسله بعد از تغییرشکل گرم فولاد در دمای ۸۵۰ درجه سانتیگراد رسوب‌گذاری منجر به تاخیر تبلور مجدد شده و لذا برای نرم شدن فولاد به زمان‌های طولانی‌تر آنلیز نیاز است. در دماهای بالاتر ابتدا تبلور مجدد آغاز شده و سپس تشکیل رسوبات تبلور مجدد را به تاخیر می‌اندازد.

۲- سرعت تغییرشکل بر بخش ابتدایی منحنی‌های رهایی تنش اثر و یا به عبارت دیگر بر انرژی داخلی ماده قبل از شروع آنلیز اثر می‌گذارد. بطوریکه بعد از اولین افت تنش و توقف تبلور مجدد به دلیل رسوب‌گذاری القاء شده در اثر کرنش، سیستیک نرم شدن استاتیکی و رفتار رهایی تنش فولاد در نرخ کرنش‌های مختلف یکسان است.

۳- تصاویر میکروسکوپ الکترونی روبشی نمونه‌های مورد بررسی بیانگر این است که ریزساختار فولاد کوئنچ شده در دمای محیط بینیتی است. تصاویر بافت کریستالی نیز گویای این است که فاز بینیت در نمونه‌های تغییرشکل داده شده با کرنش‌ها و دماهای

### مراجع

1. Hodgson P.D., Barnett M.R., "The Thermomechanical processing of steels-current and future trends", *Proceedings of the 8th International Conference on Metal Forming, Krakow, Poland*, pp. 21-28, (2000).
2. Humphreys F.J., Hatherly M., "Recrystallization and related annealing phenomena", Second ed., Oxford, Elsevier, (2004).
3. Sakai T., Jonas J.J., "Overview no. 35 dynamic recrystallization: mechanical and microstructural considerations", *Acta Metallurgica*, Vol. 32, No.2, pp.189-209, (1984).
4. McQueen H.J., "Initiating nucleation of dynamic recrystallization, primarily in polycrystals", *Materials Science and Engineering*, Vol. 101A, pp. 149-160, (1988).
5. Titto K., Fitzsimons G., Deardo A.J., "The effect of dynamic precipitation and recrystallization on the hot flow behavior of a Nb-V microalloyed steel", *Acta Metallurgica*, Vol. 31, No. 8, pp. 1159-1168, (1983).
6. Sellars C.M., Davies G.J., "Hot working and forming processes", London, Metals Society, (1980).
7. Gómez M., Medina S.F., Quispe A., Valles P., "Static recrystallization and induced precipitation in a low

- Nb microalloyed steel", *ISIJ International*, Vol. 42, No. 4, pp. 423–431, (2002).
8. Honeycombe R.W.K., "The plastic deformation of metals", Second ed., Edward Arnold, Maryland, (1984).
  9. Kwon O., DeArdo A.J., "Interactions between recrystallization and precipitation in hot-deformed microalloyed steels", *Acta Metallurgical and Materialia*, Vol. 39, No. 4, pp. 529-538, (1991).
  10. Andrade H.L., Akben M.G., Jonas J.J., "Effect of molybdenum, niobium, and vanadium on static recovery and recrystallization and solute strengthening in microalloyed steels", *Metallurgical Transaction A*, Vol. 14, pp. 1967-1977, (1983).
  11. Medina S.F., Mancilla J.E., "Static steels recrystallization at temperatures modeling below of the hot deformed microalloyed critical temperature", *ISIJ International*, Vol. 36, No. 8, pp. 1070-1083, (1996).
  12. Medina S.F., Mancilla J.E., "Determination of static recrystallization critical temperature of austenite in microalloyed steels", *ISIJ International*, Vol. 33, No. 12, pp. 1257-1264, (1993).
  13. Medina S.F., Quispe A., "Improved model for static recrystallization kinetics of hot deformed austenite in low alloy and Nb/V microalloyed steels", *ISIJ International*, Vol. 41, No. 7, pp. 774–781, (2001).
  14. Lee K.J., "Recrystallization and precipitation interaction in Nb containing steels", *Scripta Materialia*, Vol. 40, No. 7, pp. 837-843, (1999).
  15. Mirzakhani B., Arabi H., Salehi M.T.S., Seyedein H., Aboutalebi M.R., Khoddam S., Sietsma J., "Computer aided optimization of specimen geometry of hot torsion test to minimize microstructure non-homogeneity and temperature gradient before deformation", *Iranian Journal of Materials Science & Engineering*, Vol. 6, No. 3, pp. 35-43, (2009).